

توسعه مدل تشخیص الگوی فازی به منظور ارزیابی پتانسیل فرسایش پذیری حوضه‌ها بر مبنای روش PSIAC

شاهین فتحی ملک کیان^۱

Abbas Afshar^۲

سید جمشید موسوی^۳

(دریافت ۸۴/۱۱/۱۰ پذیرش ۸۵/۲/۲۹)

چکیده

در کشورهای مختلف جهان روشهای تجربی و ریاضی متعددی جهت ارزیابی و برآورد شدت فرسایش خاک و تولید رسوب مورد استفاده قرار می‌گیرد. از میان این روشهای می‌توان به روش PSIAC که بیشترین عوامل مؤثر را در محاسبه فرسایش خاک و تولید رسوب در نظر می‌گیرد اشاره نمود. در الگوی کمی سازی شاخصهای PSIAC، فضای متغیرهای ورودی به محدوده هایی با مزهای مشخص تقسیم بندی شده است. بنابراین تابع شاخص PSIAC نسبت به متغیرهای ورودی پیوسته نبوده و ممکن است با تغییر پارامترهای ورودی در فضای این محدودهای صریح، شاخص نهایی خروجی پیوستگی شود. عدم قطعیت موجود در شناخت و به تبع آن تصمیم‌گیری در مورد میزان فرسایش پذیری، یک عدم قطعیت مهم و به عبارتی دیگر فازی است. در این مطالعه به ارائه یک مدل تشخیص الگوی فازی بر مبنای پارامترهای PSIAC پرداخته شده است. این سیستم دارای طبیعت پیوسته بوده و نسبت به محدوده تغییرات پارامترهای کمی ورودی، دارای حساسیت مناسب می‌باشد و از لحاظ مفهومی قادر است تغییرات مذکور را در خروجی اعمال نماید. بر این اساس جهت تعیین پتانسیل فرسایش پذیری حوضه دریانچای از هر دو روش، PSIAC و تشخیص الگوی فازی بر مبنای روش (FPR-PSIAC) تعیین شد و نتایج حاصل با هم مقایسه گردید. بررسیها نشان می‌دهند هرچند روند کلی پتانسیل فرسایش پذیری حوضه در هر دو روش فوق به نتایج نزدیکی منجر می‌شوند، به دلیل نوع محاسبات و هموارسازی و ایجاد پیوستگی بیشتر در روش تشخیص الگوی فازی، برخی اختلافات بین نتایج این دو روش دیده می‌شود.

واژه‌های کلیدی: ارزیابی پتانسیل فرسایش پذیری، روش PSIAC، تشخیص الگوی فازی، حوضه دریانچای.

PSIAC Based Fuzzy Pattern Recognition Methodology for Watershed Erodibility Evaluation

Shahin Fathi Malek Kian¹, Abbas Afshar², Seyed Jamshid Moosavi³

(Received Jan. 30, 2006 Accepted May 19, 2006)

Abstract

Various experimental and mathematical methods have been developed to assess the soil erosion potential and sediment yield. Among these methods, the PSIAC method is one of the well known parametric and index methods. The uncertainty about recognition and decision of erodibility is an ambiguous uncertainty or on the other hand is a fuzzy problem. Furthermore, in PSIAC pattern, the space between input variables is divided into explicit and fixed sets so that the PSIAC indices of the input variables are not continuous. Hence, any variation of input parameter in this space and its effect will not be appeared at the final output PSIAC index. Due to the foregoing matters, in this study a fuzzy recognition approach is presented on the basis of PSIAC parameters. This method has a continuous form and is sensitive to the parameters variation in the discretized schemes. From conceptual point of view, the mentioned variations can be considered in the model output by fuzzy method. As a case study, both PSIAC and fuzzy pattern recognition were utilized to find the erodibility potential of Daryanchai watershed. The obtained results show, although the main trend of the erodibility potential in both methods is similar, some differences can be seen between the results of the two methods. These differences can be related to the computation schemes of the methods and continuous computational space of fuzzy approach in comparison with the PSIAC method.

Keywords: Assessing Erodibility Potential, PSIAC, Fuzzy Pattern Recognition, Daryanchai Watershed.

1- M.Sc. of Hydraulic Structures, Iran University of Science and Technology- shahin.fathi@gmail.com

۱- کارشناس ارشد سازه‌های هیدرولیکی، دانشگاه علم و صنعت ایران

shahin.fathi@gmail.com

2- Prof., Civil Eng. Dept., Iran University of Science and Technology

۲- استاد دانشکده مهندسی عمران، دانشگاه علم و صنعت ایران

3- Associate Prof., Civil and Environmental Eng. Dept., Amirkabir University of Technology

۳- دانشیار دانشکده مهندسی عمران و محیط زیست، دانشگاه صنعتی امیرکبیر

۱- مقدمه

بررسی ارتباط اثرات انسانی و پوشش گیاهی، ایرتونگا^{۱۲} و داکستین^{۱۳} در آریزونای آمریکا برای مدل‌های بارندگی- رواناب (۲۰۰۰)، تن و همکاران^{۱۴} در آمریکا برای اصلاح عملکرد معادله جهانی فرسایش خاک (RUSLE)، کشاورز بخشایش در ایران برای بررسی فرسایش پذیری حوضه آبخیز رودخانه اوجان چای در آذربایجان شرقی، رستمی و همکاران در ایران برای پیش‌بینی رسوب معلق حوضه‌های آبخیز فاقد آمار اشاره نمود [۲].

در این مطالعه، از روش PSIAC^{۱۵} که یکی از روشهای تجربی متداول برآورد شدت فرسایش و میزان رسوبدهی در حوضه هاست و در مقایسه با سایر روشهای تجربی موجود بیشترین عوامل مؤثر را در محاسبه فرسایش خاک و تولید رسوب در نظر می‌گیرد، استفاده شده است.

مطالعه حاضر بر مبنای پذیرش این واقعیت که عدم قطعیت موجود در شناخت و به تبع آن تصمیم گیری در مورد میزان فرسایش پذیری، یک عدم قطعیت مهم و به عبارتی دیگر فازی است. همچنین بهتر است در الگوی کمی سازی عددی شاخصهای PSIAC فضای ورودی متغیرهای کمی به محدوده هایی نرم، تقسیم بندی شوند. این نوع ایجاد پیوستگی از طریق فازی سازی متغیرهای دخیل در روش PSIAC، از لحاظ شهودی و مفهومی تناسب و سنتیت بیشتری با واقعیت خواهد داشت. در کنار این ایجاد پیوستگی، سیستم های فازی نسبت به تغییرات متغیرهای ورودی خود حساسیت لازم را نیز دارند و به لحاظ مفهومی قادرند تغییرات مذکور را در خروجی اعمال نمایند.

در انتهای برای ارائه مقایسه عددی بین ارزیابی فرسایش پذیری حوضه ها بر مبنای روش PSIAC و روش تشخیص الگو و نشان دادن توانایی روش جدید ارائه شده در ارزیابی فرسایش حوضه ها، از اطلاعات مربوط به حوضه آبخیز دریانچای استفاده شده است.

۲- روش تحقیق

۲-۱- تشخیص الگو

منظور از تشخیص یک الگو، دستیابی به یکی از طبقات از پیش تعیین شده است که بیشترین شباهت را با الگوی ورودی داشته باشد. تحقیقات در این زمینه با آشکار شدن قابلیتهای کامپیوترهای دیجیتال در پردازش وسیع اطلاعات در سالهای ۱۹۵۰ شروع شد. روشهای مختلفی در تشخیص الگو به کار گرفته می شود که به دو

سالهای زیادی تلاش شده است تا ائتلاف خاک در اراضی شبیدار برآورد شود و با تنظیم برنامه استفاده از زمین، حاصلخیزی آن را حفظ کنند. این امر موجب گردیده تا متخصصان در پی درک فرآیندهای مختلف فرسایش باشند. این روشهای ابتدا کیفی و مبتنی بر یک شاخص منفرد بودند. با افزایش تعداد داده‌ها، معادلاتی مبتنی بر چند شاخص به وجود آمدند. اولین بار ولتی^۱ در اوخر قرن نوزدهم درباره فرسایش مطالعاتی انجام داد. میلر^۲ در سال ۱۹۱۷ روی رواناب و فرسایش و ماسکری^۳ در خلال سالهای ۱۹۳۰ درباره فرسایش پاشمانی تحقیق کردند. اولین مطالعه تفضیلی درباره باران طبیعی توسط لاز^۴ در سال ۱۹۴۰، مطالعات الیسون^۵ در سال ۱۹۴۴ روی عمل مکانیکی قطرات باران بر روی خاک و مطالعات ماسکری در سال ۱۹۴۷ بر روی عامل بارش در فرسایش خاک انجام گرفت [۱]. با مطالعات زیاد در این باره و بررسی پارامترهای متنوع و تعیین دادن آن در حوضه های مختلف سرانجام در سال ۱۹۶۰ معادله فرسایش و تولید رسوب در حوضه های آبخیز توسط ویشمایر^۶ و اسمیت^۷ پیشنهاد شد که در حال حاضر به عنوان معادله جهانی تلفات خاک در بسیاری از کشورهای دنیا مورد استفاده قرار می گیرد [۱]. از بین روشهای تجربی ارائه شده در دنیا، چندین روش از مقبولیت بیشتری برخوردار بوده و برای برآورد شدت فرسایش خاک و تولید رسوب در حوضه های آبخیز مورد استفاده قرار می گیرند. از جمله این روشهای متداول، می توان به EPM، PSIAC، USLE، FAO و روش EPM^۸ اشاره نمود.

تئوری های جدید در رابطه با مدل سازی عدم قطعیت، طی دهه های اخیر ارائه و در حوزه های مختلف مهندسی به خدمت گرفته شده است که تئوری فازی از آن جمله است. از کاربردهای تئوری فازی در زمینه مطالعات منابع طبیعی می توان به مطالعات آندراس^۹ در آلمان برای تشریح عناصر مؤثر در چرخه هیدرولوژی، میترا و همکاران^{۱۰} در آمریکا برای پیش بینی فرسایش خاک در حوضه های آبخیز بزرگ، فیولی^{۱۱} و زریهان^{۱۱} در اتیوپی برای

¹Wollny

² Miller

³ Musgraye

⁴ Laws

⁵ Ellison

⁶ Wischmeier

⁷ Smith

⁸ Andras

⁹ Mitra et al.

¹⁰ Feoli

¹¹ Zrihun

¹² Ertunga

¹³ Duckstein

¹⁴ Tran et al.

¹⁵ Pacific Southwest Inter-Agency Committee(PSIAC)

مناطق خشک و نیمه خشک غرب ایالات متحده آمریکا ارائه شد و در یک حوضه آبخیز تحقیقاتی به نام والنات گالش^۵ واقع در جنوب شرقی ایالت آریزونای آمریکا آزمایش شد [۳].

در این روش تأثیر و نقش نه پارامتر مهم و مؤثر زمین شناسی سطحی، خاک، آب و هوا، رواناب، پستی و بلندی، پوشش زمین، کاربری زمین، وضعیت فعلی فرسایش در سطح حوضه، فرسایش رودخانه‌ای و حمل رسوب، در فرسایش خاک و تولید رسوب در حوضه آبخیز ارزیابی می‌گردد. بسته به شدت و ضعف هر عامل، عددی به آن نسبت داده می‌شود و سرانجام با در نظر گرفتن مجموع اعداد به دست آمده برای عوامل مختلف، میزان رسوبدهی حوضه برآورد می‌شود [۳ و ۴]. با استفاده از رابطه ۱، مقدار کمی رسوبدهی در مدل PSIAC قابل محاسبه است:

$$Q_s = 38.77e^{0.0358R} \quad (1)$$

در این معادله Q_s میزان رسوبدهی ($m^3/km^2.yr$) و R جمع امتیازات عوامل نه گانه یا درجه رسوبدهی است. امتیاز عوامل مؤثر در فرسایش خاک و رسوبدهی در مدل PSIAC، در جدول ۱ و کلاس‌های شدت رسوبدهی در مدل PSIAC، در جدول ۲ ارائه شده است.

۳- تعیین درجه عضویت مقادیر استاندارد پارامترهای روش PSIAC
در روش PSIAC هر پارامتر، خود به کلاس‌های مختلفی تقسیم شده است. کلاس‌های کلاسه بندی شده هر پارامتر در جدولهای ۳ تا ۱۱ ارائه شده است. با توجه به کلاس‌بندی روش PSIAC با یک

⁵ Walnut Gulch

گروه کلی، با راهنمای^۱ و بدون راهنمای^۲ تقسیم می‌گردد. روش با راهنمای هنگامی استفاده می‌شود که میزان تعلق الگوهای موجود به کلاس‌های مختلف (الگوهای برچسب خورده) مشخص باشد. در این روش، قانون کلاسه کننده به کمک الگوهای برچسب خورده به دست می‌آید.

در روش بدون راهنمای از الگوهای برچسب خورده استفاده نمی‌شود. از این جهت به آنها روش بدون راهنمای گفته می‌شود. به وسیله این روش تعداد محدودی الگوی ناشناخته به چند گروه تقسیم می‌گردد. این کلاسها شامل الگوهایی می‌شوند که در یک فضای ویژگی خاص، نزدیک به هم قرار گرفته‌اند. به همین دلیل به روش‌های بدون راهنمای، روش‌های خوش بندی^۳ نیز می‌گویند.

در سالهای اخیر، تئوری مجموعه‌های فازی کارایی زیادی در تشخیص الگو پیدا نموده است و این از آن جهت است که به کمک مجموعه‌های فازی، می‌توان عدم قطعیت موجود در تشخیص الگوها را مدل‌سازی نمود و تا حد ممکن به شیوه تشخیص انسانی نزدیک شد. فازی بودن مربوط به پدیده‌هایی است که تبیین آنها به طور قطعی ممکن نیست. عدم قطعیت در این حالت به وسیله تابع عضویت^۴ اعضاء به مجموعه‌ای که ویژگی مورد نظر از طریق آن تعریف شده است، بیان می‌گردد.

۲-۲- روش PSIAC

روش PSIAC در سال ۱۹۶۸ میلادی توسط کمیته مدیریت آب در آمریکا برای محاسبه شدت فرسایش خاک و تولید رسوب

¹ Supervised

² Unsupervised

³ Clustering

⁴ Membership Function

جدول ۱ - امتیاز عوامل مؤثر در فرسایش خاک و رسوبدهی در مدل PSIAC

عوامل	حدود امتیاز
زمین شناسی سطحی	۰ تا ۱۰
خاک	۰ تا ۱۰
آب و هوا	۰ تا ۱۰
رواناب	۰ تا ۱۰
پستی و بلندی	۰ تا ۲۰
پوشش زمین	-۱۰ تا +۱۰
استفاده از زمین	-۱۰ تا +۱۰
وضعیت فعلی فرسایش در سطح حوضه	۰ تا ۲۵
فرسایش رودخانه‌ای و حمل رسوب	۰ تا ۲۵

جدول ۲- کلاس‌های شدت رسوبدهی در مدل PSIAc

کلاس	شدت رسوبدهی خیلی کم	رسوبدهی (m³/km².yr)	حدود امتیاز
I	< ۹۵	۹۵	۰-۲۵
II	۹۵-۲۳۸	۲۳۸	۲۵-۵۰
III	۲۳۸-۴۷۶	۴۷۶	۵۰-۷۵
IV	۴۷۶-۱۴۲۹	۱۴۲۹	۷۵-۱۰۰
V	> ۱۴۲۹	۱۴۲۹	> ۱۰۰

بندی شده پارامترهای PSIAc را نرمال می‌کنیم. ماتریس الگوی استاندارد در زیر ارائه شده است:

$$Y = \begin{bmatrix} 0 & 2.5 & 5 & 7.5 & 10 \\ 0 & 2.5 & 5 & 7.5 & 10 \\ 0 & 2.5 & 5 & 7.5 & 10 \\ 0 & 2.5 & 5 & 7.5 & 10 \\ 0 & 2.5 & 5 & 7.5 & 10 \\ 0 & 5 & 10 & 15 & 20 \\ -10 & -5 & 0 & 5 & 10 \\ -10 & -5 & 0 & 5 & 10 \\ 0 & 5 & 10 & 17.5 & 25 \\ 0 & 5 & 10 & 17.5 & 25 \end{bmatrix} \quad i=1,2,\dots,9 \quad h=1,2,\dots,5$$

الگوی سه کلاسه پارامترها مواجه هستیم، ولی خروجی این روش به یک الگوی پنج کلاسه فرایش پذیری نگاشت می‌شود. برای حصول یک الگوی منطقی، خروجی روش PSIAc ثابت نگه داشته شده و متغیرهای ورودی این روش به پنج کلاس، کلاسه بندی می‌شوند، در این صورت یک تشخیص الگوی پنج کلاسه حاصل خواهد شد. چون پارامترهای به کار رفته در روش PSIAc دارای ماهیتی متفاوت با یکدیگرند، جهت استفاده مؤثر از کلیه عوامل در تجزیه و تحلیل و ایجاد ارتباط بین آنها، ارزشهای مربوط به الگوی پارامترها تحت قاعده خاصی نرمال شده‌اند. به این عملیات، استاندارد کردن داده‌های PSIAc اطلاق می‌شود. با در نظر گرفتن مفهوم فازی "فرایش پذیری خیلی کم"، مقادیر الگوی کلاسه

جدول ۳- تعیین امتیاز عامل زمین‌شناسی سطحی در تولید رسوب

زیاد (۱۰)	متوسط (۵)	کم (۰)
- مارن و شیل، ماسه سنگ با سیمان سست	- سنگهای با سختی متوسط و سنگهای دگرگونی	- تشکیلات سخت و فشرده
- گچ و مارنهای اندریدار	- سنگهای خرد شده یا هوازده متوسط	- دلوهمیت‌ها
- (خرد و تکه تکه شده)	- گستگی متوسط و سنگ آهک با لایه‌های ضخیم	- لایه‌های بزرگ آبرفتی
- لا یه سنگهای سخت و شیل	- گرانیت‌ها (آذرین)، کنکلومرا	

جدول ۴- نحوه تعیین امتیاز عامل خاک در تولید رسوب

زیاد (۱۰)	متوسط (۵)	کم (۰)
- بافت ریز با پراکندگی زیاد، شور، قلیابی، دارای قابلیت انبساط و انقباض زیاد	- بافت متوسط	- دارای درصد زیادی از تخته سنگ
- سیلت دانه‌ای و شن ریز	- دارای قطعات تخته سنگی پراکنده	- رس‌های با ساختمان محکم
- بافت شنی، لومی از جنس گرانیت	- لایه‌های آهکی	- بالا بودن مقدار مواد آلی خاک
	- بافت قلوه سنگی	

جدول ۵- تعیین امتیاز عامل آب و هوا در تولید رسوب

زیاد (۱۰)	متوسط (۵)	کم (۰)
- بارانهای چند روزه همراه با دوره های کوتاهی از رگبار تند	- وجود بارندگی با شدت و مدت پایین بودن دبی حداکثر در واحد سطح	- وجود رگبارهای شدید به طور متناوب
- حجم کم جریان آب در واحد سطح	متوسط	- وجود رگبارهای سطحی نادر
- جریانهای متناوب		- یخ بستن و ذوب شدن
- خاکهای گروه هیدرولوژیکی A		- وجود جریانهای حاصل از ذوب برف

جدول ۶- تعیین عامل رواناب در تولید رسوب

زیاد (۱۰)	متوسط (۵)	کم (۰)
- بالا بودن دبی حداکثر در واحد سطح	- دبی حداکثر متوسط	- مناطق با شیب کمتر از ۵ درصد
- حجم زیاد جریان آب در واحد سطح	- حجم متوسط جریان آب در واحد سطح	- دشت آبرفتی گسترده
- خاکهای گروه هیدرولوژیکی C و D	خاکهای گروه هیدرولوژیکی B	- خاکهای گروه هیدرولوژیکی A

جدول ۷- تعیین عامل پستی و بلندی در فرسایش خاک و تولید رسوب

زیاد (۲۰)	متوسط (۱۰)	کم (۰)
- مناطق با شیب تند (بیشتر از ۳۰ درصد)	- فلاتهای با شیب متوسط (کمتر از ۲۰ درصد)	- مناطق با شیب آرام (کمتر از ۵ درصد)
- ارتفاع زیاد ، بسترهاي با شیب تند و در حال گسترش متوسط مناطق سیل گیر با واحدهای فیزیوگرافی بادبزنی شکل	- دشت آبرفتی گسترده	- دشت آبرفتی گسترده
عمیق ترشدن پستی و بلندیها ، سیل گیر بودن		

جدول ۸- تعیین امتیاز عامل پوشش زمین در مدل PSIAAC

زیاد (۱۰)	متوسط (۰)	کم (-۱۰)
- پوشش گیاهی کمتر از ۲۰ درصد	- پوشش گیاهی کمتر از ۴۰ درصد	- سطح زمین کاملاً پوشیده از بناهای و بقایای گیاهی و قلوه سنگ (بیش از ۷۰ درصد)
- بقایای گیاهی قابل توجه		- پوشش گیاهی پراکنده و بقایای گیاهی ناچیز یا
- وجود درخت به طور پراکنده و نامترکم	- وجود درخت به طور پراکنده و نامترکم	- احتمال رسیدن باران به مواد فرسایش پذیر کم است.
فاقد بقایای گیاهی		- عدم وجود قلوه سنگ در سطح خاک

جدول ۹- تعیین امتیاز عامل نحوه استفاده از اراضی در روش PSIAAC

زیاد (۱۰)	متوسط (۰)	کم (-۱۰)
- بیش از ۵۰ درصد تحت کشت	- کمتر از ۲۵ درصد کشت شده	- زمین با یار
- تقریباً تمام سطح تحت چرای مترکم	- کمتر از ۵۰ درصد تحت چرای متوسط	- میزان چرای محدود
- بقایای گیاهی در تمام سطح به تازگی سوزانده شده	- کمتر از ۵۰ درصد پوشش جنگلی به تازگی قطع شده	- اشجار به تازگی قطع نشده
- پوشش جنگلی به تازگی بریده شده	- وجود جاده های معمول و دیگر اینیه	- بدون جاده یا معتبر
- مشهود بودن بریدگیهای جاده		

جدول ۱۰- تعیین امتیاز وضعیت فعلی فرسایش در تولید رسب

کم (۰)	متوسط (۱۰)	زیاد (۲۵)
- وجود فرسایشهای خندقی ، شیاری و توده‌ای در بیش از ۵۰ درصد سطح اراضی	- وجود انواع مختلف فرسایش در حدود ۲۵ درصد سطح اراضی	- وجود فرسایشهای خندقی ، شیاری و توده‌ای در بیش از ۵۰ درصد سطح اراضی
- فرسایش بادی با رسوب‌گذاری در کانالهای آب	- فرسایش کم	- فرسایش بادی با رسوب‌گذاری در کانالهای آب
- فرسایش متوسط	- فرسایش کم	- فرسایش متوسط

جدول ۱۱- تعیین عامل فرسایش رودخانه‌ای در تولید رسب

کم (۰)	متوسط (۱۰)	زیاد (۲۵)
- فرسایش کناره‌ای ممتد و یا تکراری در فواصل مختلف یا جریانهای عمیق طویل المدت	- وجود فرسایش کناره‌ای اتفاقی با عمق و تداوم جریان آب کوتاه مدت	- وجود فرسایش کناره‌ای ممتد و یا تکراری در فواصل مختلف یا جریانهای عمیق طویل المدت
- بستر رودخانه از سنگهای مقاوم و بزرگ و یا کاملاً پوشیده از گیاه می‌باشد و کanal ها و انهر کنترل شده	- فرسایش بالارونده در انهر فرعی و کاهش ارتفاع آنها	- فرسایش بالارونده در انهر فرعی و کاهش ارتفاع طور متوسط

(۵)

$$X = (x_{i,j})_{9 \times n} \quad i = 1, 2, \dots, 9 \quad & j = 1, 2, \dots, n$$

در ماتریس فوق، $x_{i,j}$ مقادیر تخصیص داده شده به پارامترهای نه گانه PSIAC در هر زیرحوضه و n تعداد زیرحوضه‌های مورد نظر است.

برای این مقادیر درجه عضویت با مفهوم فازی " مقاوم در مقابل فرسایش " به صورت زیر تعریف می‌شود [۵]

$$r_{i,j} = \begin{cases} 0 & x_{i,j} \geq y_{i,5} \\ (x_{i,j} - y_{i,5}) / (y_{i,1} - y_{i,5}) & y_{i,1} \leq x_{i,j} \leq y_{i,5} \\ 1 & x_{i,j} \leq y_{i,1} \end{cases}$$

با استفاده از رابطه ۶، ماتریس ۵ به ماتریس درجه عضویت پارامترها تبدیل می‌گردد

$$R = (r_{i,j})_{9 \times n} \quad (6)$$

در ماتریس فوق هر ستون ماتریس، نه پارامتر مربوط به مدل PSIAC در هر زیرحوضه را نشان می‌دهد.

درجه عضویت ماتریس هر زیرحوضه به هر کلاس نیز به صورت رابطه ۸ قابل بیان است [۵]

$$U = (u_{h,j})_{5 \times n} \quad (7)$$

که در آن $u_{h,j}$ نشان دهنده درجه عضویت زیرحوضه j به کلاس h است. معرف کلاس‌های کلاسه بندی شده مدل PSIAC است. بر اساس تئوری سیستم‌های فازی، آرایه‌های ماتریس U بایستی شرط زیر را ارضاء نمایند [۵]

$$\sum_{h=1}^h u_{h,j} = 1 \quad (9)$$

برای تبدیل این ماتریس به ماتریس درجه عضویت مقادیر استاندارد با مفهوم فازی " فرسایش پذیری خیلی کم " از رابطه ۳ استفاده می‌نماییم

$$s_{i,h} = \begin{cases} 0 & y_{i,h} = y_{i,5} \\ (y_{i,h} - y_{i,5}) / (y_{i,1} - y_{i,5}) & y_{i,1} > y_{i,h} > y_{i,5} \text{ or } y_{i,1} < y_{i,h} < y_{i,5} \\ 1 & y_{i,h} = y_{i,1} \end{cases} \quad (3)$$

در رابطه بالا $y_{i,1}$ و $y_{i,5}$ به ترتیب مقادیر استاندارد کلاس‌های اول و پنجم مربوط به هر پارامتر هستند. با استفاده از رابطه ۲ ماتریس مقادیر استاندارد نرمال شده به صورت زیر به دست می‌آید

$$S = \begin{bmatrix} 1 & 0.75 & 0.5 & 0.25 & 0 \\ 1 & 0.75 & 0.5 & 0.25 & 0 \\ 1 & 0.75 & 0.5 & 0.25 & 0 \\ 1 & 0.75 & 0.5 & 0.25 & 0 \\ 1 & 0.75 & 0.5 & 0.25 & 0 \\ 1 & 0.75 & 0.5 & 0.25 & 0 \\ 1 & 0.75 & 0.5 & 0.25 & 0 \\ 1 & 0.75 & 0.5 & 0.25 & 0 \\ 1 & 0.8 & 0.6 & 0.3 & 0 \\ 1 & 0.8 & 0.6 & 0.3 & 0 \end{bmatrix} = (s_{i,h}) \quad (4)$$

۴- توسعه مدل

روش PSIAC روشنی برای ارزیابی پتانسیل فرسایش پذیری یک زیرحوضه بر اساس تعلق آن به کلاس مشخص و با استفاده از مقایسه نه پارامتر شاخص با مقادیر استاندارد آن نه پارامتر است. این کار را می‌توان با یک مسئله تشخیص الگو و به شکل زیر انطباق داد [۵]

بر اساس رابطه ۱۹، ماتریس درجه عضویت که بیانگر تابع عضویت هر نمونه به هر کلاس است تعیین می‌گردد.

$$U^* = \begin{bmatrix} u_{1,1}^* & u_{1,2}^* & \cdots & u_{1,n}^* \\ u_{2,1}^* & u_{2,2}^* & \cdots & u_{2,n}^* \\ \vdots & \vdots & \ddots & \vdots \\ u_{5,1}^* & u_{5,2}^* & \cdots & u_{5,n}^* \end{bmatrix} = (u_{h,j}^*)_{5 \times n} \quad (20)$$

$j = 1, 2, \dots, n \text{ and } h = 1, 2, \dots, 5$

با وجود این، حتی با به دست آوردن مقادیر فوق، کلاس تقریبی هر نمونه به صورت مستقیم در ماتریس ارائه شده تعیین نمی‌شود. بنابراین باید از یک مقدار مشخص برای تعریف جواب مسئله استفاده کنیم. در ماتریس فوق، $u_{h,j}$ توزیع درجه عضویت نمونه j در کلاس متغیر h را نشان می‌دهد. این توزیع مشابه توزیع واحد جرم در یک محور است. بنابراین

$$H_j = (1, 2, \dots, 5) \cdot u_j^* = \sum_{h=1}^5 u_{h,j}^* h \quad (21)$$

H_j ، مرکز شکل احاطه شده کلاس h و $u_{h,j}$ در صفحه مختصات j را نشان می‌دهد. در واقع H_j به عنوان یک مقدار مشخصه برای بررسی نمونه زبه کار می‌رود. این مقدار مشخصه کلاس تقریبی هر نمونه در مقایسه با مقادیر استاندارد جدولهای ۳ تا ۱۱ را نشان می‌دهد. بر اساس جدول ۲، کوچکترین مقدار مشخصه، بیشترین مقاومت در مقابل فرسایش را دارد. در حقیقت بیان مقدار مشخصه به صورت فوق به دلیل تعیین درجه عضویت مقادیر، نسبت به مفهوم فازی "مقاوم در برابر فرسایش" می‌باشد که همه موارد نسبت به آن مورد ارزیابی و کلاس مربوط به فرسایش پذیری یک نمونه به دست می‌آید.

۵- مطالعه موردنی و نتایج و بحث

برای ارائه مقایسه عددی بین ارزیابی فرسایش پذیری در حوضه‌ها بر مبنای روش PSIAC و روش تشخیص الگو و نشان دادن توانایی روش جدید ارائه شده در ارزیابی فرسایش حوضه‌ها، از اطلاعات مربوط به حوزه آبخیز دریانچای استفاده گردیده است (شکل ۱). حوزه آبخیز دریانچای که دارای ۲۳ سال آمار رسوب سنگی می‌باشد در ۷۵ کیلومتری شمال غرب تبریز و ۱۳ کیلومتری شرق دریاچه ارومیه بین طولهای شرقی ۴۵°-۳۵° و غربی ۴۱°-۳۸° و عرضهای شمالی ۱۳°-۲۰° با حداقل ارتفاع ۲۹۸۲ متر از سطح دریا و حداقل ارتفاع ۱۶۶۴ متر (محل ایستگاه هیدرومتری) در دامنه‌های جنوبی ارتفاعات میشو واقع شده است [۶]. طول شاخه اصلی دریانچای تا محل دارتگ در حدود ۱۳/۸

در این صورت فاصله هر ناحیه زبه کلاس h به صورت رابطه ۱۰

تعریف می‌شود [۵]

$$d_{h,j} = \left\{ \sum_{i=1}^9 (r_{i,j} - s_{i,j})^p \right\}^{\frac{1}{p}} \quad (10)$$

که در اینجا، p پارامتر فاصله است. اگر p برابر ۱ باشد، فاصله هامینگ^۱ و اگر p برابر ۲ باشد، فاصله اقلیدسی^۲ را نشان می‌دهد. از دیدگاه تئوری سیستم‌های فازی، $u_{h,j}$ به عنوان وزنی برای فاصله $d_{h,j}$ در نظر گرفته می‌شود. فاصله وزنی ترکیبی می‌تواند تفاوت بین نمونه زبه کلاس h را به نحوی بهتر به صورت زیر بیان کند [۵]

$$D_{h,j} = u_{h,j} d_{h,j} = u_{h,j} \left\{ \sum_{i=1}^9 (r_{i,j} - s_{i,j})^p \right\}^{\frac{1}{p}} \quad (11)$$

برای به دست آوردن $u_{h,j}$ ، تابع هدفی با محدودیت رابطه‌های ۹ و ۱۰ بنا می‌گردد [۵]

$$\min \left\{ F(u_{h,j}) = \sum_{h=1}^5 D_{h,j}^2 \right\} \quad (12)$$

بنابراین تابع لاگرانژ مدل بهینه سازی مذکور به شکل زیر خواهد بود

$$L(u_{h,j}, \lambda_j) = \sum_{h=1}^5 u_{h,j}^2 d_{h,j}^2 - \lambda_j (\sum_{h=1}^5 u_{h,j} - 1) \quad (13)$$

مقادیر λ اصطلاحاً ضریب لاگرانژ نامیده می‌شوند. شرایط بهینگی مرتبه اول ایجاب می‌نماید [۵]

$$\frac{\partial L(u_{h,j}, \lambda_j)}{\partial u_{h,j}} / \partial u_{h,j} = 0 \quad (14)$$

$$\frac{\partial L(u_{h,j}, \lambda_j)}{\partial \lambda_j} / \partial \lambda_j = 0 \quad (15)$$

$$\frac{\partial L}{\partial u_{h,j}} = 2u_{h,j} d_{h,j}^2 - \lambda_j = 0 \rightarrow u_{h,j} = \frac{\lambda}{2d_{h,j}^2} \quad (16)$$

$$\frac{\partial L}{\partial \lambda_j} = \sum_{h=1}^5 u_{h,j} - 1 = 0 \rightarrow \sum_{h=1}^5 u_{h,j} = 1 \quad (17)$$

$$\sum_{h=1}^5 \frac{\lambda}{2d_{h,j}^2} = 1 \rightarrow \lambda = \frac{2}{\sum_{h=1}^5 \frac{1}{d_{h,j}^2}} \quad (18)$$

رابطه درجه عضویت نمونه [متصله] به کلاس h ، به صورت زیر به دست می‌آید [۵]

$$u_{h,j} = \left(d_{j,j}^2 \sum_{k=1}^5 d_{k,j}^{-2} \right)^{-1} \quad d_{h,j} \neq 0 \quad (19)$$

اگر $d_{h,j} = 0$ باشد، در این صورت $r_{i,j} = s_{i,h}$ خواهد بود و این تعلق کامل نمونه زبه کلاس h را نشان می‌دهد و $u_{h,j}$ برابر یک خواهد شد. این معادله، یک مدل تشخیص الگوی فازی پنج کلاسه است.

¹ Hamming

² Euclidean



شکل ۱- حوضه دریانچای و حوضه‌بندی آن

یا به عبارت دیگر تأیید آن، مقایسه‌ای تحلیلی و سپس گرافیگی از نتایج خروجی این سیستم و روش PSIAC انجام گردید. در این مقایسه، روند تغییرات شدت فرسایش نسبت به تغییرات تمام پارامترهای ورودی روش PSIAC با ثابت نگه داشتن دیگر پارامترها در شرایط تغییر یکی از پارامترها در محدوده تغییراتی خود، بررسی گردید.

نتایج حاصل نشان می‌دهد که در بررسی روند تغییرات هر یک از پارامترهای زمین‌شناسی سطحی، خاک، آب و هوا و رواناب، مقدار شاخص فرسایش در روش تشخیص فازی بیشتر از شاخص

کیلومتر می‌باشد که بعد از آن با طی مسیری در حدود ۱۵/۵ کیلومتر در دشت پخش شده و مازاد جریانات سطحی وارد دریاچه ارومیه می‌شود [۶]. سطح حوضه آبخیز دریانچای بر اساس نقشه های توپوگرافی ۱:۵۰۰۰۰ سازمان جغرافیایی ارتش، ۴۰/۵۵ کیلومتر مربع اندازه گیری شده است [۶]. مشخصات زیر حوضه‌ها به همراه نتایج برآورد پتانسیل فرسایش پذیری حاصل از دو روش فوق در جدولهای ۱۲ تا ۱۴ آرائه گردیده است. اساس روش تشخیص الگوی فازی بر مبنای آگاهیهای افراد خبره، تنظیم کننده روش PSIAC، تنظیم شده است. لذا برای نشان دادن این توانایی و

جدول ۱۲- مشخصات زیر حوضه ۱

پارامترهای ورودی سطحی	زمین شناسی	آب و هوا	رواناب	خاک	پستی و بلندی	پوشش زمین	استفاده از فرسایش زمین	فعلي فرسایش در سطح حوزه	روزگار رسوب	پارامترهای ورودی سطحی	زمین شناسی	آب و هوا	رواناب	خاک	پستی و بلندی	پوشش زمین	استفاده از فرسایش زمین	فعلي فرسایش در سطح حوزه	روزگار رسوب
محدوده تغییرات	۰ ~ ۱۰	۰ ~ ۱۰	۰ ~ ۱۰	۰ ~ ۱۰	۰ ~ ۲۰	-۱۰ ~ ۱۰	-۱۰ ~ ۱۰	۰ ~ ۲۵	۰ ~ ۲۵	۱۴	۱۷/۴۲	۶/۷۳	-۶/۶	۱۳/۳	۷/۵	۶	۶/۹۶	۶/۷۱	پارامترها مقادیر
شاخص پتانسیل فرسایش پذیری بر اساس روش PSIAC = ۷۲/۰۲	شاخص پتانسیل فرسایش پذیری بر اساس روش تشخیص الگوی فازی = ۳/۴۴	کلاس شاخص فرسایش پذیری	کلاس شاخص فرسایش پذیری							۳									

جدول ۱۳- مشخصات زیر حوضه ۲

پارامتر های ورودی سطحی	زمین شناسی	خاک	آب و هوا	رواناب	پستی و بلندی	پوشش زمین	استفاده از فرسایش زمین	فعلي فرسایش در سطح حوزه	وضعیت فرسایش رودخانه ای و حمل رسوب
محدوده تغییرات									
مقادیر پارامترها	۵/۶۳	۶/۷۹	۷	۷	۱۷/۶	-۸/۳۲	۱۰	۰ ~ ۲۵	۰ ~ ۲۵
شاخص پتانسیل فرسایش پذیری بر اساس روش PSIAC = ۶۲/۱۸									
شاخص پتانسیل فرسایش پذیری بر اساس روش تشخیص الگوی فازی = ۳/۲۵									

جدول ۱۴- مشخصات زیر حوضه ۳

پارامتر های ورودی سطحی	زمین شناسی	خاک	آب و هوا	رواناب	پستی و بلندی	پوشش زمین	استفاده از فرسایش زمین	فعلي فرسایش در سطح حوزه	وضعیت فرسایش رودخانه ای و حمل رسوب
محدوده تغییرات									
مقادیر پارامترها	۵/۳	۶/۹۸	۷/۵	۶/۵	۱۸/۵۹	-۹/۲	۸/۱۵	۰ ~ ۲۵	۰ ~ ۲۵
شاخص پتانسیل فرسایش پذیری بر اساس روش PSIAC = ۵۸/۸۵									
شاخص پتانسیل فرسایش پذیری بر اساس روش تشخیص الگوی فازی = ۳/۱۹									

حوضه با استفاده از یک پایگاه عمومی می باشدند (شکل ۲). البته میزان توانایی چنین سیستمی با کیفیت پایگاه قواعد آن رابطه مستقیم دارد. مشاهدات نشان می دهد علی رغم وجود تفاوت هایی بین شاخص فازی و شاخص PSIAC، در نهایت هر دو شاخص به یک مجموعه خروجی فازی نگاشت می شوند. مقایسه نتایج تجربی با نتایج اندازه گیری شده و مشاهده شده، جزء معتبرترین روش های اعتبار بخشی به مدل های عددی و آماری است. چون هدف در این مطالعه نشان دادن رقتار مدل ارائه شده PSIAC است، مقایسه نتایج خروجی روش جدید ارائه شده و روش PSIAC به لحاظ آماری، فرآیندی مناسب به نظر می رسد. برای این منظور در ۲۹ حالت مختلف، خروجی دو سیستم با یکدیگر مقایسه گردید. حالت های مورد بررسی، حاصل ترکیب ورودی های جدول ۱۵ بوده است. در نهایت توزیع فراوانی، توابع تعلق خروجی های این دو

PSIAC می باشد. در مورد پارامتر های دیگر روش PSIAC که شامل پستی و بلندی، پوشش زمین، کاربری زمین، وضعیت فعلی فرسایش در سطح حوضه و فرسایش رودخانه ای و حمل رسوب می باشدند، با اینکه همانند پارامتر های گذشته مقدار شاخص فرسایش، روش تشخیص الگوی فازی بیشتر از شاخص روش PSIAC است. ولی در دیگر پارامتر ها میزان تغییرات شاخص فرسایش پذیری، می تواند کمتر از روش PSIAC گردد و این مسئله بیشتر در پارامتر هایی دیده می شود که محدوده تغییراتی گسترده ای دارند. این مورد در پارامتر های، وضعیت فعلی فرسایش در سطح حوضه و فرسایش رودخانه ای و حمل رسوب به راحتی قابل مشاهده می باشد.

نتایج روش تشخیص الگوی فازی در مقایسه با روش PSIAC نشان می دهد که هر دو روش قادر به تشرییح فرسایش در سطح

جدول ۱۵- مقادیر فرضی برای پارامترهای PSIAC

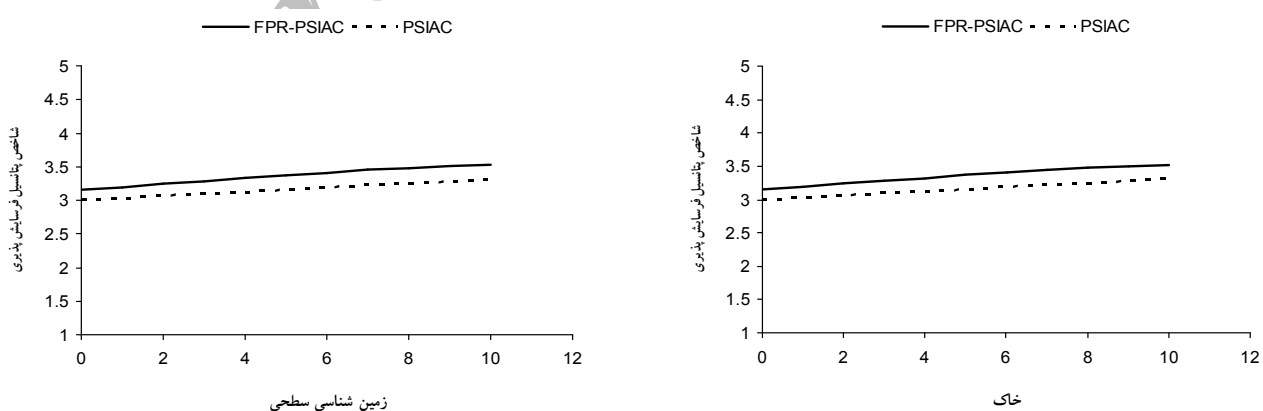
پارامترهای PSIAC	حالات دوم	حالات اول
زمین شناسی سطحی	۶	۳
خاک	۹	۷
آب و هوا	۵	۶
رواناب	۷	۸
پستی و بلندی	۱۲	۱۸
پوشش زمین	-۸	-۷
استفاده از زمین	-۹	۸
وضعیت فعلی فرسایش در سطح حوزه	۱۲	۱۸
فرسایش رودخانه‌ای و حمل رسوب	۸	۲۲

می‌تواند تأثیری بر رفتار مدل باشد. از طرف دیگر دلیل تفاوت‌های موجود را باید در رفتار سیستم فازی جستجو کرد، چراکه سیستم فازی دارای طبیعت پیوسته بوده و نسبت به دامنه تغییرات پارامترهای کمی پیوسته و رودی، از خود حساسیت نشان می‌دهد و تغییرات مذکور را به نوعی در خروجی خود لحاظ می‌کند.

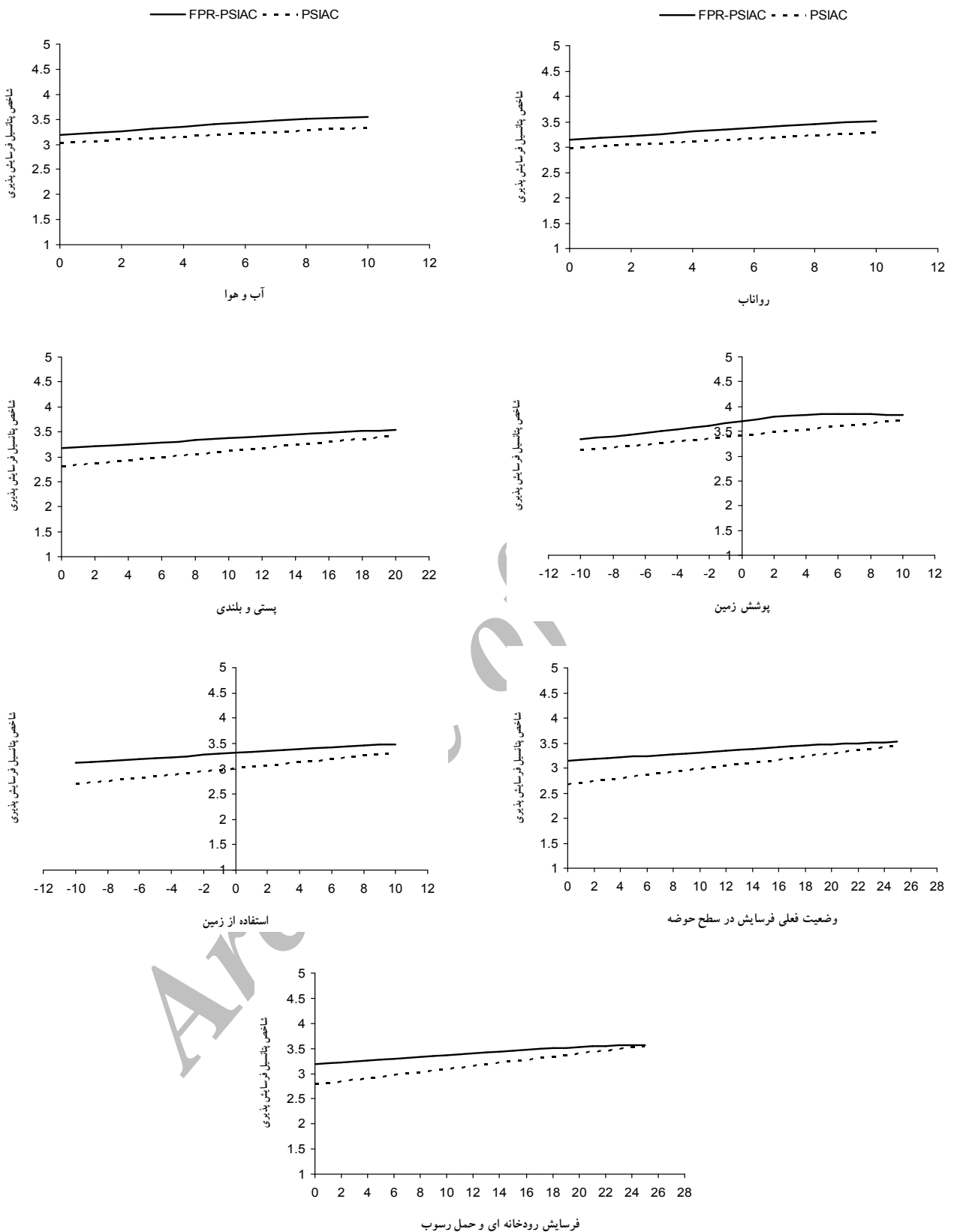
۶- نتیجه گیری

در جمع بندی نتایج، بایستی ذکر شود که سیستم فازی در بررسی فرسایش پذیری، سیستمی با جوابهای منطقی ارزیابی می‌شود. توانایی این سیستم‌ها بیشتر در شرایط فقدان و یا کمبود داده‌های کافی نمود می‌یابد. مقایسه عددی ارزیابی فرسایش پذیری حوضه دریانچای بر مبنای روش PSIAC و روش تشخیص الگوی فازی، توانایی روش ارائه شده در ارائه جواب و ارزیابی

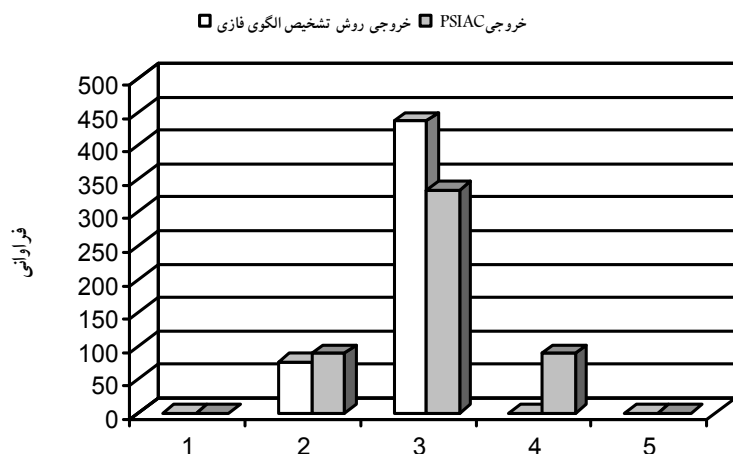
سیستم در تمامی حالات ممکن از ترکیب ورودیها، در شکل ۳ ارائه شده است. ملاحظه می‌شود که هر دو مدل، نتایج نسبتاً مشابهی دارند. گرچه تفاوت‌هایی مشاهده می‌گردد ولی همخوانی روش جدید با نتایج PSIAC یانگر توانایی آن در ارزیابی شدت فرسایش پذیری حوضه‌ها می‌باشد. در انتها برای نشان دادن قابلیت مدل ارائه شده با استفاده از برنامه‌ای که به زبان Visual Basic نوشته شده است شاخص فرسایش پذیری با استفاده از روش تشخیص الگوی فازی در یک حوضه با مشخصات فرضی محاسبه شد و نقشه فرسایش پذیری بر اساس روش PSIAC (شکل ۴) و روش تشخیص الگو تهیه گردید (شکل ۵). سپس نقشه حاصل با نقشه فرسایش پذیری بر مبنای روش PSAIC مقایسه گردید (شکل ۶). ملاحظه می‌شود که خروجی روش تشخیص الگوی فازی شباهت زیادی با خروجی مدل PSIAC دارد. با توجه به این که روش تشخیص الگوی فازی از پایگاه دانش مدل PSIAC استفاده می‌کند، وجود چنین شباهتی



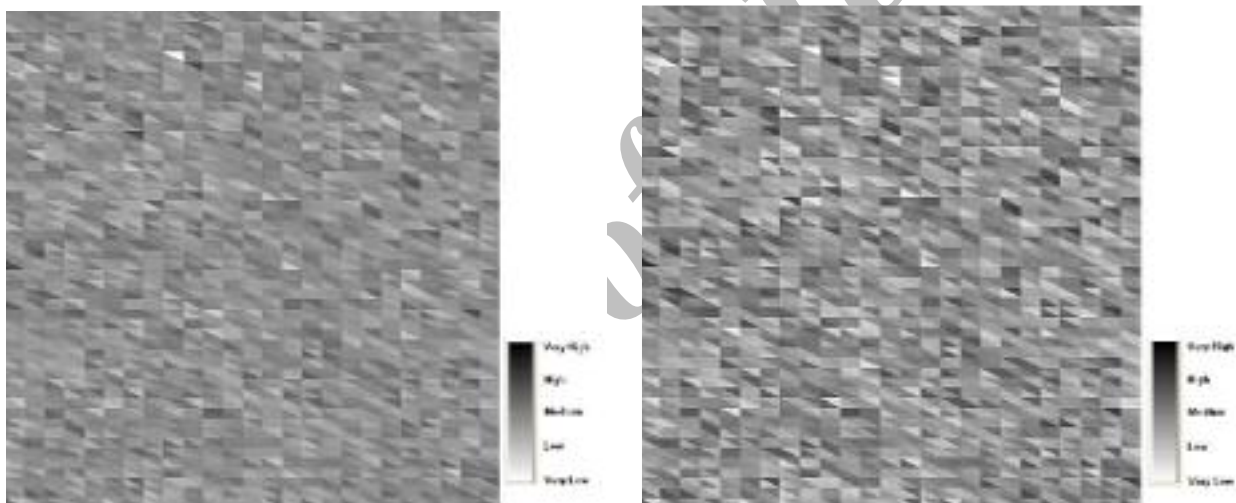
شکل ۲ - روند تغییرات شاخص شدت فرسایش



شكل ۲ (ادامه) – روند تغییرات شاخص شدت فرسایش



شکل ۳- توزیع فراوانی توابع تعلق خروجی
شاخص پتانسیل فرایش پذیری



شکل ۵- نقشه فرایش پذیری با استفاده از روش تشخیص الگوی فازی

شکل ۴- نقشه فرایش پذیری با استفاده از روش PSIAC



شکل ۶- تفاوت روش تشخیص الگوی فازی با روش PSIAC

مذکور نسبت به آن با هم مقایسه شوند و هم به لحاظ نیاز به انجام مطالعات جزئی میدانی، کاری دشوار است که باید در ادامه مطالعات مد نظر قرار گیرد.

منطقی از پتانسیل فرسایش حوضه ها را نشان می دهد. علی‌رغم آن، ارزیابی دقیق این مسئله که نتایج کدام روش به واقعیت نزدیکتر است، هم به لحاظ نبود یک مبنای ثابت که دو روش

۷- مراجع

- ۱- شیخ‌حسنی، ح. (۱۳۷۴). ”تولید رسوب در واحدهای فرسایشی حوضه آبخیز سد مخزنی طالقان.“ پایان‌نامه کارشناسی ارشد، دانشگاه تربیت مدرس، دانشکده علوم انسانی.
- ۲- خردی تازان، ب. (۱۳۸۲). ”کاربرد منطق فازی در اولویت‌بندی عملیات آبخیزداری در حوزه آبخیز شهرستانک کرج.“ پایان‌نامه کارشناسی ارشد، دانشگاه تربیت مدرس، دانشکده منابع طبیعی.
- 3- Pacific Southwest Inter-Agency Committee (1968). *Report on factors affecting sediment yield in the Pacific Southwest area and selection and evaluation of measures for the reduction of erosion and sediment yield*, Water Management Subcommittee, Sedimentation Task Force.
- 4- PSIAC Report (2000). *Sediment assessment and evaluation study for Lake Louise and Cottonwood Lake Hand, Hyde, Faulk, and Spink Counties South Dakota*, United States Department of Agriculture Natural Resources Conservation Service South Dakota in Cooperation with South Dakota. Department of Environment and Natural Resources and Hand County Conservation District.
- 5- Shouyu, C., and Guangtao, F. (2003). “A DRASTIC-based Fuzzy Pattern Recognition Methodology for Groundwater Vulnerability Evaluation.” *Hydrological Sciences*, 48(2), 200-211.
- ۶- نیکجو، م.ر. (۱۳۷۴). ”ارزیابی کاربرد مدل PSIAC در برآورد فرسایش و رسوب حوزه آبخیز دریانچای.“ پایان‌نامه کارشناسی ارشد، دانشگاه تربیت مدرس، دانشکده منابع طبیعی.